

УДК 612.825.23:612.822.3

И. В. Тимофеев, В. Д. Тараненко

Реакции нейронов поля 7 теменной ассоциативной коры на электрическую стимуляцию латеродорсального и постеролатерального ядер таламуса

Внеклеточно исследовали реакции нейронов поля 7 теменной ассоциативной коры (ТАК) наркотизированных калипсолом кошек на электрическую стимуляцию латеродорсального (ЛД) и постеролатерального (ПЛ) ядер таламуса. Установлена корреляционная зависимость распределения нейронов, реагировавших на стимуляцию ассоциативных ядер импульсными реакциями, по глубине, продолжительности торможения фоновой активности и скрытым периодам. Показано наличие прямых функциональных связей между ЛД и полем 7 ТАК. Обнаружены общие и специфические особенности реакций нейронов ассоциативной коры при поступлении залпа импульсов из ЛД- и ПЛ-ядер таламуса.

Введение

Поле 7 ТАК получает входы из проекционных, ассоциативных, и неспецифических ядер таламуса. Наиболее мощные связи образуются с комплексом постеролатерального (ПЛ) и подушечного ядер таламуса. Они достаточно хорошо изучены в нейрофизиологических [2, 8, 15] и анатомических [9, 10, 12] экспериментах. Менее изучен вопрос о связях теменной коры с латеродорсальным (ЛД) ядром. С одной стороны, существует мнение о небольшом количестве прямых проекций этого ядра на ТАК кошек [12, 13], с другой,— описаны проекции ТАК в ЛД-ядро таламуса [14]. При удалении задней части супрасильвийской извилины дегенеративные изменения отмечались в различных участках ЛД-ядра [1]. Известно, что при электрическом раздражении ЛД-ядра наблюдаются коротколатентные вызванные потенциалы (ВП) в средней супрасильвийской извилине [4]. Неясным остается характер влияний этого ядра на нейроны ТАК.

Цель работы — изучение ответных реакций нейронов поля 7 на электрическое раздражение ЛД- и ПЛ-ядер таламуса.

Методика

Опыты выполнены на 12 обездвиженных тубокуарином взрослых кошках, которых наркотизировали калипсолом (15 мг/кг внутримышечно). Все мягкие ткани инфильтрировали 0,5 %-ным раствором новокаина. Для предотвращения мозговых пульсаций осуществляли дренаж четвертого мозгового желудочка, а трепанационное отверстие заливали 4 %-ным раствором теплого агар-агара, приготовленным на физиологическом растворе. Раздражающие биполярные электроды из никромовой проволоки диаметром 0,2 мм с межэлектродным расстоянием 0,5 мм вводили в ЛД- и ПЛ-ядра (координаты: 10; 3,5; 15—16 и 7,5; 5; 13—15 по атласу Джаспара). Продолжительность раздражающих импульсов составляла 0,15—0,2 мс, сила раздражающего тока — 0,2—0,5 мА. Нейронную активность отводили внеклеточно стеклянными электродами, заполненными 4 моль/л раствором NaCl. Сопротивление электродов составляло 5—15 МОм. Отведение нейронной активности осуществляли в фокусе максимальной амплитуды ВП ТАК на стимуляцию ЛД-ядра. Поиск реагировавших нейронов проводили, погружая микроэлектрод шаговым манипулятором ИПМ-2 до появления потенциалов действия (ПД) фоновоактивных нейронов или до появления ПД в ответ на эле-

© И. В. ТИМОФЕЕВ, В. Д. ТАРАНЕНКО, 1991

ктрическую стимуляцию ЛД-ядра для фоновомолчащих нейронов. Раздражение наносили частотой не более 0,3 Гц. Антидромные и моносинаптические реакции идентифицировали по известным критериям [7, 11]. По окончании опытов осуществляли морфологический контроль мест локализации раздражающих электродов.

Результаты и их обсуждение

Изучена электрическая активность 71 нервной клетки поля 7 ТАК, из которых 45 были фоновоактивными и 26 — фоновомолчащими. На стимуляцию ЛД-ядра исследованы реакции 70 нейронов, а на стимуляцию ПЛ-ядра — 49 нейронов ТАК. Результаты анализа распределения

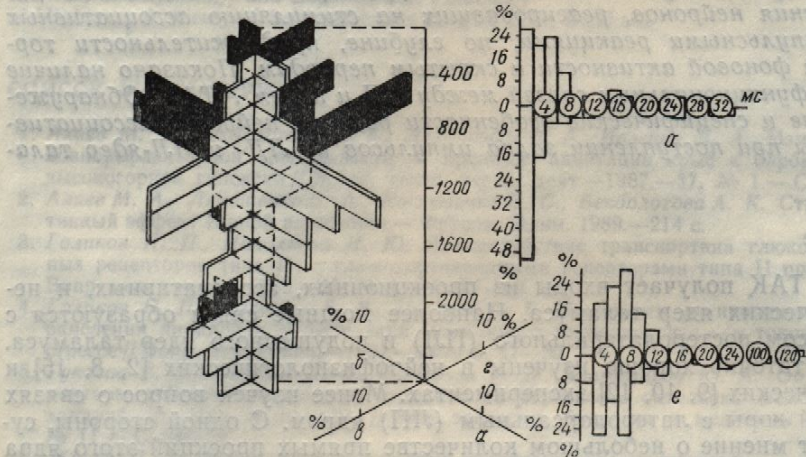


Рис. 1. Распределение нейронов поля 7 теменной ассоциативной коры, реагировавших на стимуляцию латеродорсального (ЛД) и постеролатерального (ПЛ) ядер таламуса, по глубине расположения и скрытым периодам.

нейронов, которые реагировали на стимуляцию ассоциативных ядер таламуса импульсными реакциями, по глубине, продолжительности торможения фоновой активности, скрытым периодам и их дисперсии представлены на рис. 1 (а — распределение по глубине расположения нейронов, реагировавших на стимуляцию ЛД-ядра первичным возбуждением, б — первичным торможением; в — распределение по глубине расположения нейронов, реагировавших на стимуляцию ПЛ-ядра первичным возбуждением, г — первичным торможением; д — распределение нейронов по значениям разбросов скрытых периодов, реагировавших на стимуляцию ПЛ-(выше изолинии) и ЛД-(ниже изолинии) ядер; е — распределение нейронов по значениям минимальных скрытых периодов, реагировавших на стимуляцию ПЛ-(выше изолинии) и ЛД-(ниже изолинии) ядер).

На раздражение ЛД 26 фоновоактивных нейронов ТАК реагировали первичным возбуждением, а 17 — первичным торможением фоновой активности. У 22 нейронов наблюдали реакции торможения, следующие за возбуждением. Фоновомолчащие нейроны на стимуляцию ЛД-ядра реагировали одним или несколькими ПД. Реагировавшие нейроны встречались по всему поперечнику коры (см. рис. 1, а—б).

Исследованные нейроны реагировали на стимуляцию ЛД-ядра неустойчивым скрытым периодом, хотя его колебания у большинства нейронов не превышали 2—3 мс. Только у части нейронов разброс скрытых периодов составил 30—35 мс (см. рис. 1, д — ниже изолинии). На гистограмме распределения минимальных скрытых периодов нейронов, реагировавших на стимуляцию ЛД-ядра первичным возбуждением, видно два максимума — 2—4 мс и 6—8 мс (см. рис. 1, е). Основная часть нейронов вовлекалась в реакцию в первые 14 мс, четыре клетки

реагировали с минимальной продолжительностью 254,2 мс ± 1 мс.

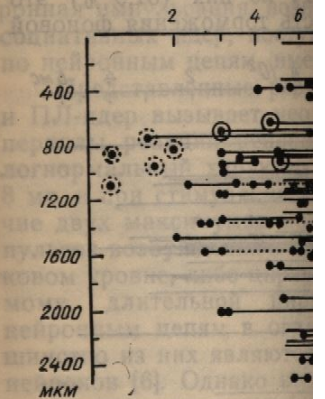
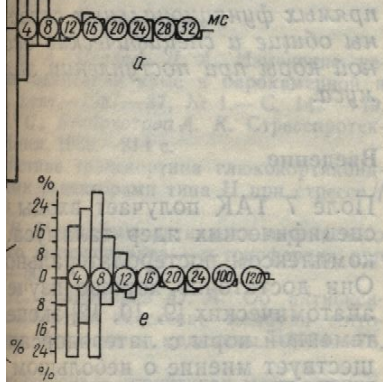


Рис. 2. Распределение нейронов по глубине расположения в коре, скрытым торможениям фоновой активности.

не реагировали на стимуляцию ядра, по глубине расположения и продолжительности торможения фоновой активности (толстыми линиями — колебаний скрытого периода — длительность торможения компоненты реагирования), обведены значения скрытых периодов реакций; пурпурные — первичные реакции. По оси абсцисс — глубина расположения нейрона поля 7, идентифицированных по скрытым реакциям на стимуляцию ПЛ-ядра в диапазоне 600—1100 мкм, что соответствует изолинии Поляковой. Или и некоторые другие изолинии. Значительная часть первичных реакций на глубинах 800—1600 мкм реагировали со скрытым минимальным скрытым периодом. Нейроны, реагировавшие на стимуляцию ПЛ-ядра, расположены по всему поглощению 1200 мкм (V слой) числом 21. Стимуляция ПЛ-ядра имела первичное возбуждение и торможение фоновой активности у 27 нейронов ТАК. 14 нейронов реагировали на стимуляцию ПЛ-ядра импульсами по глубине в коре нейрона ПЛ-ядра, сходен с такими же ядрами ЛД-ядра. Отличие ПЛ-ядра в нижних слоях коры больше, чем тормозных.

фономолчащих нейронов. Раз-
0,3 Гц. Антидромные и моно-
али по известным критериям
или морфологический контроль
ротов.

ервой клетки поля 7 ТАК, из
1 26 — фономолчащими. На
дии 70 нейронов, а на стимуля-
льтаты анализа распределения



ассоциативной коры, реагировавших
ролатерального (ПЛ) ядер таламуса,

стимуляцию ассоциативных ядер та-
бине, продолжительности тор-
мажения, скрытым периодам и их диспер-
спределение по глубине рас-
стимуляцию ЛД-ядра первичным тор-
мажением; в — распределение реагировавших на стимуляцию первичным тор-
мажением; г — разброс скрытых периодов, (изолинии) и ЛД- (ниже изолиний) по значениям минимальных стимуляции ПЛ- (выше изоли-

вных нейронов ТАК реагировавшим тор-
мажением фоновой активности, следующие
ны на стимуляцию ЛД-ядра ПД. Реагировавшие нейроны (см. рис. 1, а—б).

ли на стимуляцию ЛД-ядра его колебания у большинства
ко у части нейронов разброс (см. рис. 1, г — ниже изолинии).
ных скрытых периодов ней-
Д-ядра первичным возбужде-
6—8 мс (см. рис. 1, е). Основная
в первые 14 мс, четыре клетки

реагировали с минимальным скрытым периодом 14—25 мс и один нейрон реагировал с минимальным скрытым периодом 100 мс. На сти-
муляцию ПЛ-ядра 39 нейронов реагировали торможением фоновой активности, причем у 17 нейронов эта реакция развивалась первично, у остальных тормозная пауза возникала после начального возбужде-
ния. Продолжительность торможения фоновой активности составляла 60—500 мс с модальным интервалом 250—300 мс, при средней продол-
жительности 254,2 мс \pm 18,0 мс. На рис. 2 представлено корреляцион-

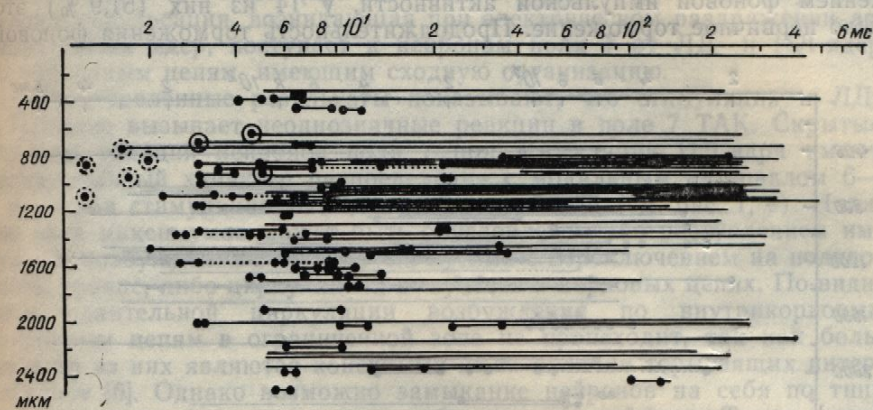


Рис. 2. Распределение нейронов, реагировавших на стимуляцию ЛД-ядра, по глубине расположения в коре, скрытым периодам импульсных реакций, разбросу и длительности торможения фоновой активности.

ное поле распределения нейронов, реагировавших на стимуляцию ЛД-
ядра, по глубине расположения в коре, скрытому периоду импульсных
ответов, их разбросу и продолжительности торможения фоновой ак-
тивности (толстыми линиями, ограниченными точками, обозначены гра-
ницы колебаний скрытого периода импульсного ответа; тонкими линиями —
длительность торможения фоновой активности; пунктиром сое-
динены компоненты реакций одного нейрона; сплошными кружками обведены значения скрытых периодов идентифицированных моносинаптических реакций; пунктирными кружками — то же антидромных
реакций. По оси абсцисс — логарифм времени, мс; по оси ординат — глубина расположения нейронов, мкм). Показано, что клетки входа и вы-
хода поля 7, идентифицированные по антидромным и моносинаптическим реакциям на стимуляцию ЛД-ядра, располагаются на глубине 600—1100 мкм, что соответствует IV и верхней части V слоев по классификации Поляковой. Не исключено, что моносинаптически реагировали и некоторые другие нейроны, которые не удалось идентифицировать. Значительная часть первично возбуждавшихся нейронов располагалась на глубине 800—1600 мкм. Выше уровня «вход — выход» нейроны реагировали со скрытым периодом 4—11 мс, а ниже этого уровня минимальный скрытый период был больше.

Нейроны, реагировавшие торможением фоновой активности, об-
наружены по всему поперечнику ТАК. Однако на глубине 1000—
1200 мкм (V слой) число таких нейронов преобладало. На раздраже-
ние ПЛ-ядра 21 фоновоактивный нейрон реагировал первичным воз-
буждением и 14 — первичным торможением фоновой активности. Всего
торможение фоновой активности при стимуляции ПЛ-ядра наблюдали
у 27 нейронов ТАК. 14 фономолчащих нейронов реагировали на сти-
муляцию ПЛ-ядра импульсными разрядами. Характер распределения по глубине в коре нейронов поля 7, реагировавших на стимуляцию ПЛ-ядра, сходен с таковым для нейронов, отвечавших на раздраже-
ние ЛД-ядра. Отличительным является тот факт, что на стимуляцию ПЛ-ядра в нижних слоях коры возбуждающих реакций было выявлено больше, чем тормозных (см. рис. 1, в—г). Гистограмма распределения

нейронов по разбросу скрытых периодов (см. рис. 1, *д* — выше изолинии) существенно отличается от полученной при стимуляции ЛД-ядра. Около 60 % нейронов реагировали с разбросом скрытых периодов до 6 мс. Как и при стимуляции ЛД-ядра, основная часть нейронов реагировала с минимальным скрытым периодом до 14 мс. Обнаружена одна нервная клетка, реагировавшая с минимальным скрытым периодом 120 мс.

На стимуляцию ПЛ-ядра 27 нейронов поля 7 реагировали торможением фоновой импульсной активности, у 14 из них (51,9 %) это было первичное торможение. Продолжительность торможения фоновой

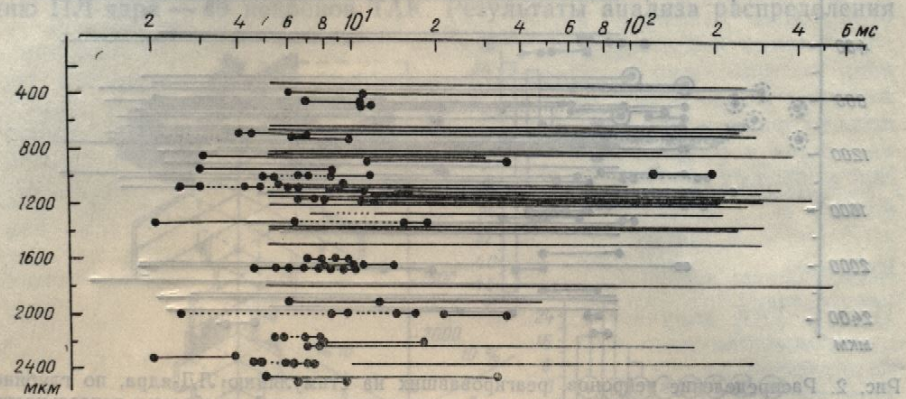


Рис. 3. Распределение нейронов, реагировавших на стимуляцию ПЛ-ядра, по глубине расположения в коре, скрытым периодам импульсных реакций и их разбросу и длительности торможения фоновой активности. Обозначения те же, что в описании к рис. 2.

импульсной активности варьировала от 35 до 700 мс модальным интервалом 250—300 мс при средней продолжительности 264 мс \pm 28,3 мс. Параметры тормозных реакций нейронов соответствуют таковым, выявленным на стимуляцию ПЛ-ядра у нейронов на границе полей 5б и 7 [8]. Отличительным является относительно меньшее число реакций торможения фоновой активности и наличие реакций продолжительностью торможения фоновой активности менее 60 мс. Эти отличия могут быть обусловлены тем, что наши исследования выполнены в фокусе максимальной амплитуды ВП на стимуляцию ЛД-ядра. Близкие данные получены и другими исследователями [2, 5].

При изучении реакций нейронов поля 7 на стимуляцию ПЛ-ядра в фокусе максимальной активности на стимуляцию ЛД-ядра нам не удалось выявить антидромных и моносинаптических реакций (рис. 3; обозначения те же, что на рис. 2), что может быть обусловлено малой эффективностью в этом месте прямых входов из ПЛ-ядра. Значительная часть первично возбуждавшихся нейронов, расположенных по всему поперечнику коры, реагировала с большими колебаниями скрытого периода. Многие клетки (10 из 21) реагировали на одиночное раздражение несколькими ПД. Как и при стимуляции ЛД-ядра, при стимуляции ПЛ-ядра развивается выраженное торможение в относительно ограниченном слое коры (см. рис. 1, *в*; рис. 3).

Изучено 47 нейронов поля 7, реагировавших на стимуляцию ЛД- и ПЛ-ядер. У 37 нейронов (78,7 %) реакции были односторонние, причем 29 нервных клеток (61,7 %) первично возбуждались при раздражении одного и другого ядер, а 8 клеток (17,0 %) реагировали в обоих случаях торможением фоновой импульсной активности. Разнонаправлено на раздражение ЛД- и ПЛ-ядер реагировали 10 нейронов (21,3 %): шесть клеток возбуждались на раздражение ЛД-ядра и угнетались на стимуляцию ПЛ-ядра; четыре клетки возбуждались на стимуляцию ПЛ-ядра и угнетались на стимуляцию ЛД-ядра. Для нейронов, реагировавших первичным возбуждением на стимуляцию обоих

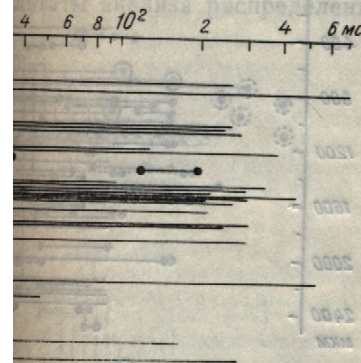
ядер, вычисляли попарные скрытого периода ($R=0,61$) при $P=0,05$, $R=0,375$). Это исследованных признаков пропалмуса.

У 23 нейронов наблюдаемой активности при стимуляции вычисляли попарный коэффициент торможения — $R=0,440$ (пропорциональная импульсация, возникающая в социативных ядрах, поступающих по нейронным цепям, имеющих логнормальный характер) при $P=0,05$, $R=0,375$. Представленные результаты показывают, что ПЛ-ядер вызывает неоднократные периоды реакций нейронов, имеющих логнормальный характер, при $P=0,05$, $R=0,375$. Длительность каждого максимума может достигать 8 мс, а при стимуляции ЛД-ядра, при $P=0,05$, $R=0,375$, длительность каждого максимума может достигать 14 мс. Длительность каждого максимума может достигать 14 мс.

Характерным является то, что нейроны ассоциативной коры реагируют на стимуляцию ПЛ-ядра, возбуждаясь сами, поступающими из ПЛ-ядра «возбуждающими» дисперсное поступление импульсов, что обеспечивает плавное постсинаптическое торможение. В результате этого постсинаптического торможения, в результате чего, возможно, обусловлено тем, что на этом уровне возбуждающие нейроны реагируют на стимуляцию ПЛ-ядра, возбуждаясь сами, поступающими из ПЛ-ядра «возбуждающими» дисперсное поступление импульсов, что обеспечивает плавное постсинаптическое торможение.

При стимуляции обоих ядер коры формируется импульсация (см. рис. 1, *б*, *г*), который после стимуляции перестает возникать между верхним и нижним уровнем. Нижнее заторможенное слоев и незначительное количество нейронов, реагирующих на стимуляцию ПЛ-ядра, возбуждается на этом уровне. Помимо этого, на этом уровне возбуждающие нейроны реагируют на стимуляцию ПЛ-ядра, возбуждаясь сами, поступающими из ПЛ-ядра «возбуждающими» дисперсное поступление импульсов, что обеспечивает плавное постсинаптическое торможение.

в (см. рис. 1, *д* — выше изолинии при стимуляции ЛД-ядра. разбросом скрытых периодов до основная часть нейронов реагировали до 14 мс. Обнаружена одна минимальным скрытым периодом из 7 реагировали торможение, у 14 из них (51,9 %) это гельность торможения фоновой



на стимуляцию ПЛ-ядра, по глубине сных реакций и их разбросу и длине те же, что в описании к рис. 2.

35 до 700 мс модальным продолжительности 264 мс \pm кий нейронов соответствуют П-ядра у нейронов на границе относительно меньшее число и наличие реакций продолжительности менее 60 мс. Эти отличия исследования выполнены в

на стимуляцию ЛД-ядра. исследователями [2, 5].

и 7 на стимуляцию ПЛ-ядра стимуляцию ЛД-ядра нам не наптических реакций (рис. 3). может быть обусловлено малой ядов из ПЛ-ядра. Значительные нейронов, расположенных по всем колебаниям скрытого провали на одиночное раздражение ЛД-ядра, при стимуляции торможение в относительно

реагировавших на стимуляцию реакции были однородными. первично возбуждались при клеток (17,0 %) реагировали импульсной активности. Разнонадер реагировали 10 нейронов на раздражение ЛД-ядра, иные клетки возбуждались на стимуляцию ЛД-ядра. Для нейрением на стимуляцию обоих

ядер, вычисляли попарные коэффициенты корреляции минимального скрытого периода ($R=0,61$) и разброса скрытых периодов ($R=0,45$ при $P=0,05$, $R=0,375$). Это достоверно свидетельствует о корреляции исследованных признаков при стимуляции двух ассоциативных ядер таламуса.

У 23 нейронов наблюдали реакции торможения фоновой импульсной активности при стимуляции обоих ассоциативных ядер таламуса. Вычисляли попарный коэффициент корреляции продолжительности торможения — $R=0,440$ (при $P=0,05$, $R=0,414$). По-видимому, нейронная импульсация, возникающая при электрическом раздражении ассоциативных ядер, поступает к нейронам поля 7 от ЛД- и ПЛ-ядер по нейронным цепям, имеющим сходную организацию.

Представленные результаты показывают, что стимуляция и ЛД- и ПЛ-ядер вызывает неоднозначные реакции в поле 7 ТАК. Скрытые периоды реакций нейронов поля 7 при стимуляции ПЛ-ядра имеют логнормальный характер распределения с модальным интервалом 6—8 мс, а при стимуляции ЛД-ядра — бимодальный (см. рис. 1, *е*). Наличие двух максимумов может быть обусловлено либо поступлением импульсов возбуждения в кору двумя путями с переключением на подкорковом уровне, либо циркуляцией импульсов в корковых цепях. По-видимому, длительной циркуляции возбуждения по внутрикорковым нейронным цепям в ограниченной зоне не происходит, так как большинство из них являются конечными из-за наличия тормозящих интернейронов [6]. Однако возможно замыкание нейронов на себя по типу аутапсов или через вставочные возбуждающие нейроны. Такие структурные связи могут обеспечивать продление эффекта возбуждения, модуляцию входной активности [3]. Возникновение реакций со скрытым периодом 100—120 мс может свидетельствовать о наличии протяженных таламо-кортикальных, корково-корковых и корково-подкорково-корковых цепей, по которым возбуждение из ассоциативных ядер таламуса может достигать поля 7 ТАК.

Характерным является то, что на стимуляцию ассоциативных ядер нейроны ассоциативной коры реагируют неустойчивым скрытым периодом. Возможно, возбуждение одних и тех же нейронов поля 7 импульсами, поступающими из ПЛ- и ЛД-ядер, возникает с участием «усиливающих» возбуждающих вставочных нейронов, что обуславливает дисперсное поступление импульсации к нейронам. Такая дисперсия, вероятно, обеспечивает плавное нарастание амплитуды возбуждающего постсинаптического потенциала (ВПСП) и увеличение его продолжительности. В результате, на его «плато» ПД могут возникать со значительным времененным разбросом. При стимуляции ЛД-ядра вставочные возбуждающие нейроны также вовлекаются в реакции, но более синхронно, что дает два максимума на гистограмме распределения минимальных скрытых периодов и уменьшает разброс скрытых периодов реакций нейронов.

При стимуляции обоих ассоциативных ядер на ограниченном уровне коры формируется мощный слой заторможенных нейронов (см. рис. 1, *б*, *г*), который делит кору на две части и через 5—10 мс после стимуляции перестает принимать участие в свободном обмене импульсации между верхними и нижними слоями коры. При этом прежде всего выключаются из дальнейшего проведения импульсации нейроны входа, расположенные на этом уровне и несколько выше. Ниже заторможенного слоя обнаружено мало фоновоактивных нейронов и незначительное количество реакций торможения фоновой активности, а фономолчание нейроны реагировали, как правило, с большим разбросом скрытого периода (рис. 4: по оси абсцисс — время, мс; по оси ординат — глубина, мкм; по оси аппликат — количество, %). По-видимому, на этом уровне функционируют линейные цепи корковых интернейронов, обеспечивающие активацию нейронов после выключения нейронов входа, или циклические цепи [3]. Определенным подтверждением этого является тот факт, что из пяти нейронов, реагировавших несколькими ПД на одиночную стимуляцию ЛД-ядра, четыре

располагались на глубине 1200—1400 мкм. Ранее, на препарате изолированной полоски коры поля 5 ТАК получены результаты, которые указывают на особую роль этого слоя в интегративной деятельности ассоциативной коры [6]. Нейроны, отвечавшие на стимуляцию ПЛ-ядра в виде пачки, регистрировались и в более глубоких слоях коры. Вероятно, при стимуляции ПЛ-ядра по всему поперечнику поля 7 коры и с большей эффективностью, чем при стимуляции ЛД-ядра, функционируют усиливающие линейные и циклические цепи интернейронов.

Наличие идентифицированных антидромных и

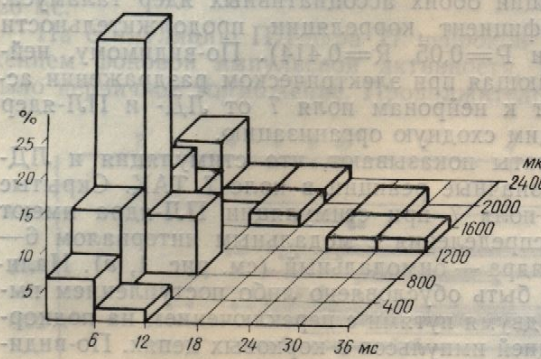


Рис. 4. Двумерная гистограмма совместного распределения признаков нейронов — глубины расположения и разброса скрытых периодов, реагировавших на стимуляцию ЛД-ядра.

моносинаптических реакций нейронов на стимуляцию ЛД-ядра и отсутствие идентифицированных нейронов входа и выхода на стимуляцию ПЛ-ядра в фокусе максимальной амплитуды ВП на стимуляцию ЛД-ядра могут свидетельствовать о неравномерном распределении входов из этих ядер в поле 7 коры и подтверждают мнение о мозаичной организации ассоциативной коры.

Таким образом, результаты наших исследований показывают прежде всего наличие прямых двусторонних связей поля 7 ТАК с ЛД-ядром таламуса. Этого нельзя утверждать с достоверностью о связях с ПЛ-ядром в фокусе проекций входов из ЛД-ядра. Близкое соотношение числа возбуждавшихся и тормозившихся нейронов, скрытые периоды, продолжительность возбуждения и торможения фоновой активности, положительные достоверные коэффициенты парной корреляции исследованных признаков свидетельствуют о сходном влиянии этих ядер на нейроны ТАК.

I. V. Timofeev, V. D. Taranenko

NEURONAL RESPONSES OF PARIETAL ASSOCIATIVE CORTEX FIELD 7 TO ELECTRICAL STIMULATION OF LATERODORSAL AND POSTEROLATERAL THALAMIC NUCLEI

Neuronal responses of the parietal associative cortex (PAC) field 7 to the electrical stimulation of laterodorsal (LD) and posterolateral (PL) thalamic nuclei were studied in calipso-narcotized cats. A correlation between depth, duration of the background activity inhibition and latent periods was determined for distribution of neurons responding to stimulation of associative nuclei by impulses. It is shown that there are functional relations between LD and field 7 of PAC. Common and specific peculiarities of neuronal responses of the associative cortex were found when a volley of impulses came from LD- and PL-nuclei of the thalamus.

I.I. Mechnikov University, Odessa

СПИСОК ЛИТЕРАТУРЫ

1. Адрианов О. С. О принципах организации интегративной деятельности мозга. М.: Медицина, 1976.—278 с.
2. Артеменко Д. П., Мамонец Т. М. Реакции нейронов поля 5 в супрасильвиевой извилине на раздражение заднего латерального ядра таламуса // Нейрофизиология.—1973.—5, № 5.—С. 502—509.
3. Вартанян Г. А., Пирогов А. А. М. Л.: Наука, 1988.—181 с.
4. Васильева Л. А. Физиологический муса : Автограф. дис. ... канд. биол.
5. Серков Ф. Н. Корковое торможение
6. Тараненко В. Д. Функциональное взаимодействие в коре головного мозга. Киев, 1985.—46 с.
7. Эзрохи В. Л., Гречушникова Л. Ю. Моносинаптических ответов // С. 1271—1279.
8. Яновский Е. Ш. Параметры и структура коры головного мозга кошки // С. 1271—1279.
9. Graybiel A. M. Some thalamocortical connections in the cat // Brain Research. 1965. 10. P. 101—114.
10. Graybiel A. M. Some ascending pathways from the posterior of the thalamus in the cat // J. Physiol. 1966. 186. P. 101—114.
11. Lipski J. Antidromic activation of the central nervous system // J. Physiol. 1966. 186. P. 101—114.
12. Niimi K., Yamazaki Y., Matsuo T. Suprasylvian gyrus and the ventral division of the radish peroxidase // J. Hirnforsch. 1973. 17. P. 101—114.
13. Robertson R. T. Thalamic projections to the cerebral cortex. Experiments 1973.—51. N 1.—P. 61—79.
14. Robertson R. T., Rinik E. The thalamic projection to the cerebral cortex. Experiments 1973.—51. N 1.—P. 61—79.
15. Steriade M. Input-output organization of the thalamus // Int. Congr. Physiol. Sci.—Paris, 1973. Vol. 1. P. 101—114.

Одес. ун-т им. И. И. Мечникова
М-ва высш. и сред. спец. образований

УДК 616.12—008.9:612.015.3.001.6

В. В. Алабовский, А. А. Винокур

Предупреждение искусственных трансмембранных градиентов повреждений сердца при и постишемической реперфузии

На изолированном сердце к трансмембранных градиентах повреждений при «кальциевом парадигматическом» повреждении установлено выраженное зажигание натрия при «кальциевом парадигматическом» снижении выхода миоглобина, что его выход из миокарда лабилизации Na^+ -Ca-обмена вызывает натрия макроэргические соединения (на 85—91 %) снижали потенциалы. Увеличение внеклеточного периода постишемической реперфузии синусового ритма триклеточных аденинуклеотидов миокарда.

Введение

Механизм развития реперфузии до сих пор остается неясным. Повреждений является массивный

© В. В. АЛАБОВСКИЙ, А. А. ВИНОКУР

ISSN 0201-8489. Физиол. журн. 1991. Т. 37. № 3



мкм. Ранее, на препарате изо-
~~х~~ получены результаты, которые
я в интегративной деятельности
чавшие на стимуляцию ПЛ-ядра
мнее глубоких слоях коры. Веро-
му поперечнику поля 7 коры и с
большой эффективностью,
чем при стимуляции ЛД-
ядра, функционируют уси-
ливающие линейные и
циклические цепи интер-
нейронов.

Наличие идентифицированных антидромных и

Рис. 4. Двумерная гистограмма совместного распределения признаков нейронов — глубины расположения и разброса скрытых периодов, реагировавших на стимуляцию ЛД-ядра.

их исследований показывают
ронных связей поля 7 ТАК с
ждать с достоверностью о свя-
тодов из ЛД-ядра. Близкое со-
мозившихся нейронов, скрытые
ения и торможения фоновой
и коэффициенты парной кор-
дательствуют о сходном влия-

SOCIATIVE CORTEX OF LATERODORSAL

tex (PAC) field 7 to the electrical al (PL) thalamic nuclei were studied depth, duration of the background act ed for distribution of neurons respons es. It is shown that there are functio nmon and specific peculiarities of neu ron when a volley of impulses came

интегративной деятельности мозга.—
ронов поля 5 b супрасильвиевой изви-
ядра таламуса // Нейрофизиология.—

3. Вартанян Г. А., Пирогов А. А. Механизмы памяти центральной нервной системы.—Л.: Наука, 1988.—181 с.
 4. Васильева Л. А. Физиологическая характеристика ассоциативной системы таламуса : Автотеф. дис. ... канд. биол. наук.—Л., 1971.—21 с.
 5. Серков Ф. Н. Корковое торможение.—Киев: Наук. думка, 1986.—248 с.
 6. Тараненко В. Д. Функциональные свойства нейронов и организация межнейронного взаимодействия в коре головного мозга : Автотеф. дис. ... д-ра биол. наук.—Киев, 1985.—46 с.
 7. Эзрохи В. Л., Гречушникова Л. С. Идентификация транскаллозальных возбуждающих моносинаптических ответов // Журн. высш. нервн. деятельности.—1978.—28, № 6.—С. 1271—1279.
 8. Яновский Е. Ш. Параметры и особенности торможения в нейронах ассоциативной коры головного мозга кошки // Физиол. журн.—1986.—32, № 6.—С. 715—722.
 9. Graybiel A. M. Some thalamocortical projections of the pulvinar-posterior system of the thalamus in the cat // Brain Res.—1970.—22, N 1.—P. 131—139.
 10. Graybiel A. M. Some ascending connections of the pulvinar and nucleus lateralis posterior of the thalamus in the cat // Ibid.—1972.—44, N 1.—P. 99—125.
 11. Lipski J. Antidromic activation of the neurones as an analitic tool in the study of the central nervous system // J. Neurosci. Meth.—1984.—4, N 11.—P. 1—32.
 12. Niimi K., Yamazaki Y., Matsuoka H. et al. Thalamic projections to the posterior suprasylvian gyrus and the ventrally adjacent cortex in the cat traced with horse radish peroxidase // J. Hirnforsch.—1985.—26, N 5.—P. 497—508.
 13. Robertson R. T. Thalamic projection to parietal cortex // Brain, Behav. Evol.—1977.—14, N 3.—P. 161—184.
 14. Robertson R. T., Rinvik E. The corticothalamic projections from parietal region of the cerebral cortex. Experimental degeneration studies in the cat // Brain Res.—1973.—51, N 1.—P. 61—79.
 15. Steriade M. Input-output organization of parietal association cortex in cat // 27-th Int. Congr. Physiol. Sci.—Paris.—1977.—Vol. 12.—P. 602.

Одес. ун-т им. И. И. Мечникова
М-ва высш. и сред. спец. образования УССР

Материал поступил
в редакцию 03.03.90

УДК 616.12—098.9:612.015.3.001.6

В. В. Алябовский, А. А. Винокуров, В. И. Кобрин, О. Д. Одейников

Предупреждение искусственным увеличением трансмембранного градиента натрия реперфузионных повреждений сердца при «кальциевом парадоксе» и постишемической реперфузии

На изолированном сердце крыс изучали защитное действие высокого трансмембранных градиента ионов натрия и макроэргических соединений при «кальциевом парадоксе» и постишемической реперфузии. Установлено выраженное защитное действие высокой внеклеточной концентрации натрия при «кальциевом парадоксе». АТФ (100 мкмоль/л) снижала выход миоглобина, а фосфокреатин (100 мкмоль/л) увеличивал его выход из миокарда при «кальциевом парадоксе». На фоне ослабления Na—Ca-обмена высоким трансмембранным градиентом ионов натрия макроэргические соединения АТФ и фосфокреатин эффективно (на 85—91 %) снижали потерю миоглобина при «кальциевом парадоксе». Увеличение внеклеточной концентрации натрия до 180 ммоль/л в период постишемической реперфузии способствовало быстрому восстановлению синусового ритма в 80 % экспериментов, сохранению внутриклеточных адениннуклеотидов, снижению накопления кальция в миокарде.

Введение

Механизм развития реперфузионных повреждений сердечной мышцы до сих пор остается неясным. Считают, что одной из причин этих нарушений является массивный вход Ca^{2+} внутрь клеток миокарда [10,

© В. В. АДАГОВСКИЙ, А. А. ВИНОКУРОВ, В. И. КОБРИН, О. Д. ОЛЕИННИКОВ. 1991